

IZG – cvičení #4.

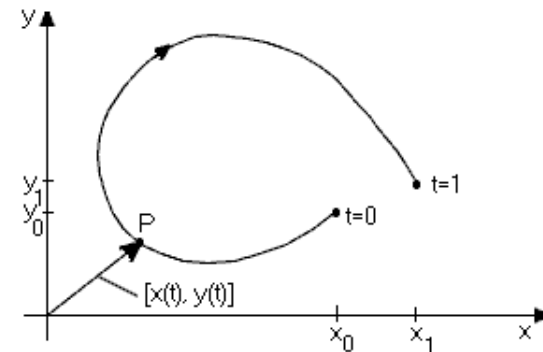
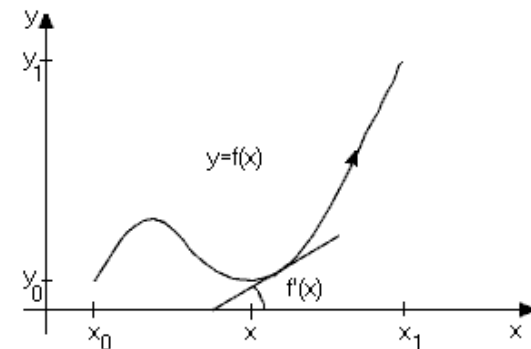
Zobrazování 2D křivek

Obsah

- ♦ Úvodní část
 - ♦ Rekapitulace 2D křivek
- ♦ Cvičení - ukázka
 - ♦ Fergusnova kubika
- ♦ Cvičení samostatný projekt
 - ♦ Úvod
 - ♦ Racionální Bézierova křivka

Rekapitulace 2D křivek

- ♦ Vyjádření křivek
 - ♦ Explicitní, Implicitní
 - ♦ Parametrické
- ♦ Použití 2D křivek
 - ♦ Definice fontů
 - ♦ Šablonování
 - ♦ Definice objektů
 - ♦ Animační křivky
 - ♦ ...

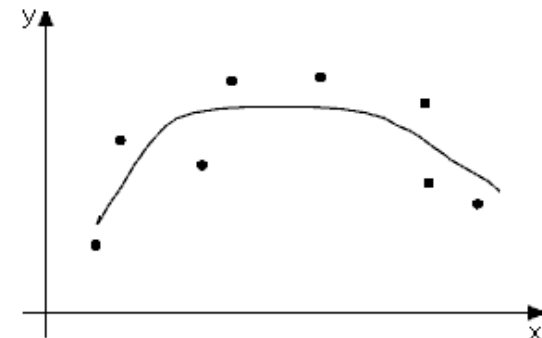
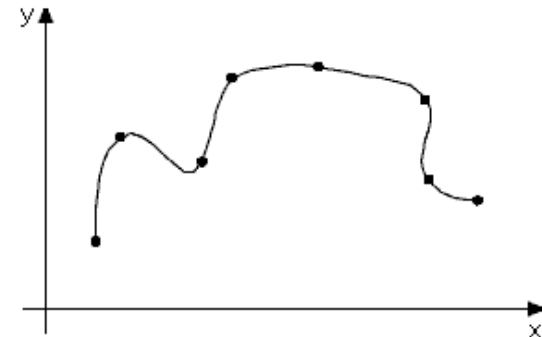
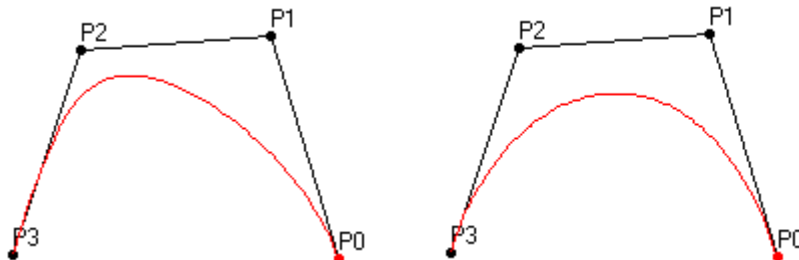


[F. Alexandr]

Rekapitulace 2D křivek

♦ Typy křivek

- ♦ Aproximační (obecně neprochází řídícími body), interpolační (prochází řídícími body)
- ♦ Racionální (váhové koeficienty řídících bodů), neracionální (váhové koeficienty rovny 1)



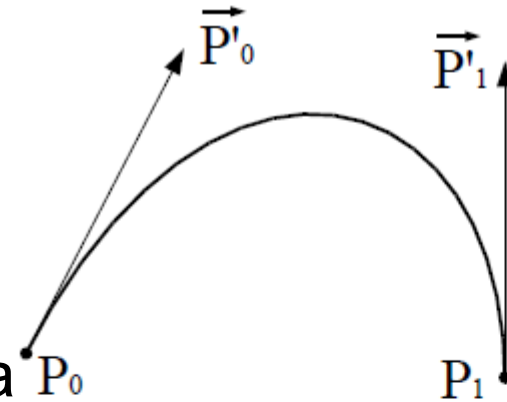
[F. Alexandr]

Co projedeme společně?

Fergusnovu kubiku!

Fergusnova kubika

- ◆ Nejčastější interpolační křivka
- ◆ Určena dvěma koncovými body
- ◆ $P_0; P_1$ (poloha)
- ◆ A dvěma tečnými vektory
- ◆ $\vec{P}_0; \vec{P}_1$ (vyklenutí)
- ◆ Neintuitivní řízení tvaru
- ◆ Nelokální změna tvaru



$$Q(t) = \mathbf{T} \cdot \begin{bmatrix} 2 & -2 & 1 & 1 \\ -3 & 3 & -2 & -1 \\ 0 & 0 & 1 & 0 \\ 1 & 0 & 0 & 0 \end{bmatrix} \cdot \begin{bmatrix} P_0 \\ P_1 \\ \vec{P}_0' \\ \vec{P}_1' \end{bmatrix}$$

$$Q(t) = P_0 \cdot F_1(t) + P_1 \cdot F_2(t) + \vec{P}_0' \cdot F_3(t) + \vec{P}_1' \cdot F_4(t)$$

Hermitovy polynomy:

$$F_1(t) = 2 \cdot t^3 - 3 \cdot t^2 + 1$$

$$F_2(t) = -2 \cdot t^3 + 3 \cdot t^2$$

$$F_3(t) = t^3 - 2 \cdot t^2 + t$$

$$F_4(t) = t^3 - t^2$$

$$C_1 \rightarrow \begin{bmatrix} P_0 \\ P_1 \\ \vec{P}_0' \\ \vec{P}_1' \end{bmatrix} \leftrightarrow \begin{bmatrix} P_2 \\ P_3 \\ \vec{P}_2' \\ \vec{P}_3' \end{bmatrix}$$

Samostatná práce?

Racionální bézierova křivka!

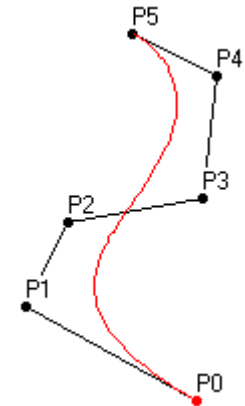
Neracionální Bézierova křivka

- ♦ Váhové koeficienty řídících bodů rovny jedné: $w=1$, ve vzorci proto nejsou zapsány
- ♦ Křivka n -tého stupně je dána $n+1$ body $P_i = [x_i, y_i]$ řídícího polygonu P_0, P_1, \dots, P_n

$$Q(t) = \sum_{i=0}^n P_i B_i^n(t)$$

kde B_i^n jsou Bernsteinovy polynomy n -tého stupně

$$B_i^n(t) = \binom{n}{i} t^i (1-t)^{n-i}, t \in \langle 0, 1 \rangle, i = 0, \dots, n$$



- ♦ Generování se provádí postupným dosazováním parametru t

Bézierova kubika

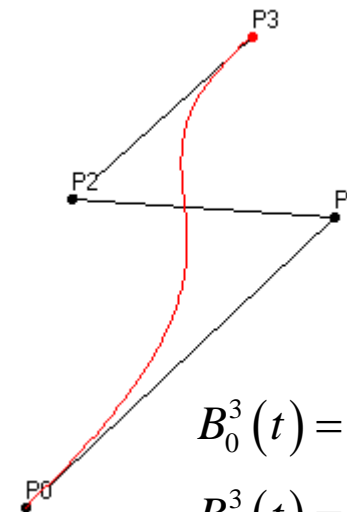
- Počet bodů řídícího polygonu je roven čtyřem P_0, P_1, P_2, P_3
- Maticový zápis

$$Q(t) = T \begin{bmatrix} -1 & 3 & -3 & 1 \\ 3 & -6 & 3 & 0 \\ -3 & 3 & 0 & 0 \\ 1 & 0 & 0 & 0 \end{bmatrix} \begin{bmatrix} P_0 \\ P_1 \\ P_2 \\ P_3 \end{bmatrix}$$

kde $T = [t^3, t^2, t^1, t^0 = 1]$

- Jiný zápis kde B_i jsou Bernsteinovy polynomy stupně 3

$$Q(t) = P_0 B_0^3(t) + P_1 B_1^3(t) + P_2 B_2^3(t) + P_3 B_3^3(t) = \sum_{i=0}^3 P_i B_i^3(t)$$



$$B_0^3(t) = (1-t)^3$$

$$B_1^3(t) = 3t(1-t)^2$$

$$B_2^3(t) = 3t^2(1-t)$$

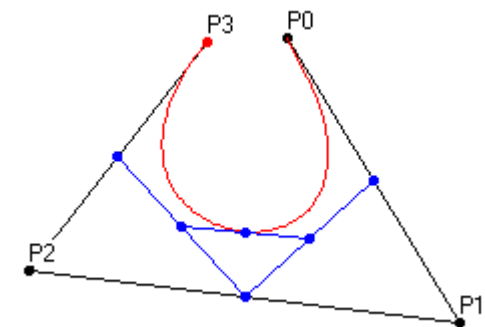
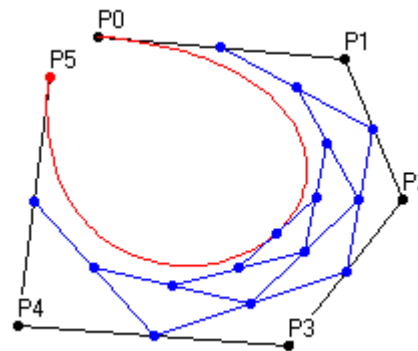
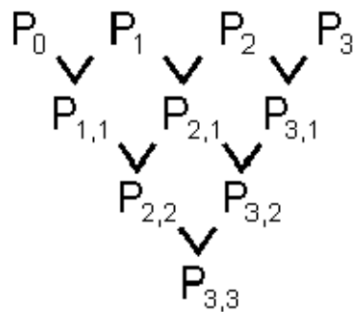
$$B_3^3(t) = t^3$$

Algoritmus de Casteljau

- ♦ Výpočet bodů Bézierovy křivky
 - ♦ Využívá rekurzivní definice Bernsteinova polynomu

$$P_{j,i}(t) = (1-t)P_{j-1,i}(t) + tP_{j-1,i-1}(t)$$

kde $i = 1, 2, \dots, n$; $j = i, i+1, \dots, n$ a t určuje poměr dělení stran
řídícího polynomu



Racionální Bézierova křivka

- ♦ Váhové koeficienty řídících bodů nabývají proměnných hodnot
- ♦ Křivka n -tého stupně je dána $n+1$ body $P_i = [x_i, y_i]$ řídícího polygonu P_0, P_1, \dots, P_n a váhovými koeficienty jednotlivých bodů ω_i
- ♦ Racionální Bézierovy polynomy

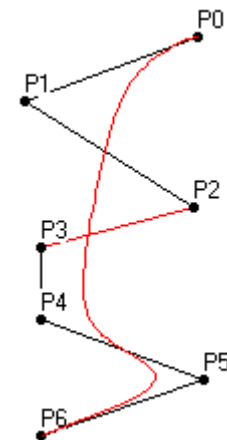
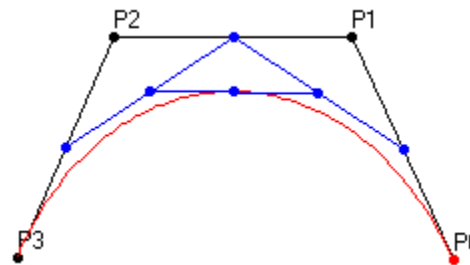
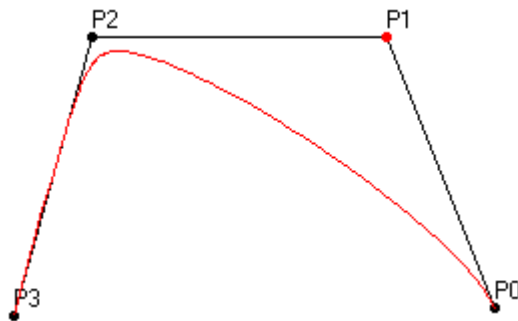
$$R_i^n(t) = \frac{\omega_i B_i^n(t)}{\sum_{i=0}^n \omega_i B_i^n(t)}$$

kde B_i^n jsou Bernsteinovy polynomy n -tého stupně definované stejně jako u neracionální Bézierovy křivky

Racionální Bézierova křivka

- ♦ Výpočet bodů racionální Bézierovy křivky

$$Q(t) = \sum_{i=0}^n P_i R_i^n(t) = \frac{\sum_{i=0}^n \omega_i P_i B_i^n(t)}{\sum_{i=0}^n \omega_i B_i^n(t)}$$



Shrnutí a doporučení

Bernsteinovy polynomy n -tého stupně

$$B_i^n(t) = \binom{n}{i} t^i (1-t)^{n-i}, t \in \langle 0, 1 \rangle, i = 0, \dots, n$$

Racionální Bézierova křivka

$$Q(t) = \sum_{i=0}^n P_i R_i^n(t) = \frac{\sum_{i=0}^n \omega_i P_i B_i^n(t)}{\sum_{i=0}^n \omega_i B_i^n(t)}$$

Projekt – Kam psát zdrojový kód?

- ♦ Soubor student.cpp
 - ♦ Funkce void **Bezier**(int quality, **const T_PointVector** & points, **T_PointVector** & line_points)
 - ♦ **quality** – hladkost výsledné křivky (počet bodů)
 - ♦ **points** – pole bodů řídícího polygonu
 - ♦ **line_points** – výsledný vektor vygenerovaných bodů křivky
 - ♦ Pozn.: **Nic nevykreslujte, body ukládejte do vektoru!**

Základní struktury v main.h

- ♦ Bod ve 2D

```
struct S_Point {  
    double x, y;      // souřadnice bodu  
    double weight;    // váha bodu  
    // Konstruktory (C++)  
    S_Point() : x(0.0), y(0.0), weight(1.0) {}  
    S_Point(double _x, double _y) : x(_x), y(_y), weight(1.0) {} };
```

- ♦ Vektor/pole bodů

- ♦ **typedef vector<S_Point> T_PointVector;**
- ♦ Šablona vector – knihovna STL
- ♦ Dynamické pole – velikost lze měnit za běhu programu
- ♦ **#include <vector>**
- ♦ **direktivou using zpřístupnit jmenný prostor std - using namespace std**

STL šablona vector

- ♦ Nastavení velikosti pole/vektoru
 - ♦ Při vytváření – parametr konstruktoru
 - ♦ Př.: **T_PointVector P(n);**
 - ♦ Metoda **resize(n)**
- ♦ Indexace pole
 - ♦ Operátor **[]** – přístup k prvkům jako obyčejné pole
 - ♦ Př.: **P[i]** = prvek;
- ♦ Metody
 - ♦ Funkce definované „uvnitř“ struktury/třídy
 - ♦ Pro volání použijte **'.'** případně **'->'** notaci
 - ♦ **push_back(prvek)** – zvětší pole o 1 a vloží prvek na konec
 - ♦ **clear()** – vyprázdnění pole, nová velikost = 0
 - ♦ **size()** – vrátí aktuální velikost pole

Literatura

- ♦ Přednášky IZG + uvedená literatura
- ♦ L. Alexandr: Výuka křivek formou WWW, 1999.
- ♦ http://lubovo.misto.cz/_MAIL_/curves/index.html
- ♦ www.google.com ... BSpline

Kontakty

- ◆ ijosth@fit.vutbr.cz
- ◆ isvoboda@fit.vutbr.cz